

Research Paper

Investigation the Effect of Rotation Speed, Rotation Factor, and Irrigation Duration on Wind Drift and Evaporation Losses of Agricultural Sprinklers

Neda Karimi¹, Darya Dehghan², Shaho Moloudi³, Adel Siosemardeh⁴, Eisa Maroufpoor^{5*}

¹ Department of water Engineering, faculty of Agriculture, University of Kurdistan, Sanandaj, Iran,
neda.karimi1365@gmail.com

² Researcher, Department of Water Resources Research, Water Research Institute, Ministry of Energy, Tehran, Iran,
Darya.dehghan@ut.ac.ir

³ Expert of Regional Water Company of Kurdistan, Sanandaj, Iran, shaho.mhe@gmail.com

⁴ Department of Plant Production and Genetics, University of Kurdistan, Sanandaj, Iran, A33@uok.ac.ir

⁵ Professor, Department of Water Engineering, Faculty of Agriculture, University of Kurdistan, Sanandaj, Iran,

(* Corresponding author, E-mail: E.maroufpoor@uok.ac.ir Tel: +989183809030)



10.22125/IWE.2023.381413.1700

Received:
January 14, 2023

Accepted:
April 5, 2023

Available online:
December 30, 2023

Keywords:
Sprinkler irrigation,
Komet R8 sprinkler,
Luxor sprinkler,
types of
sprinklers,
application efficiency.

Abstract

The main purpose of this research is to investigate the effect of rotation factor, rotation speed, irrigation duration, as well as the effect of other different climatic and system factors, on Wind Drift and Evaporation Losses (WDEL) of impact and gear driven sprinklers. Experiments were carried out in the research farm of University of Kurdistan and in an area of 3600 m² by single sprinkler method on two Komet R8 and Luxor sprinklers. The results showed that 1- the diameter of water collection containers has no significant effect on WDEL. 2- Up to the wind speed of 11.5 km/h and the air temperature of 40 °C, there is no significant difference between the WDEL of sprinklers. 3- The average WDEL of Komet sprinkler in low wind speed is 8.5% and Luxor sprinkler is 10.4% and their difference is not significant. With the increase of wind speed from low to moderate, the average increase in WDEL of Komet sprinkler was 125% and Luxor sprinkler was 21% and their difference was significant ($P<0.05$). 4- In both sprinklers, WDEL increased with increasing working pressure, but neither the increase nor the difference between WDEL of sprinklers was significant. 5- In both sprinklers, WDEL increases with the increase of vapor pressure deficit, but this increase was significant only in Komet sprinkler and in the high range ($P<0.05$). 6- By increasing the riser height of the sprinkler from 1 m to 2 m, the WDEL of the Komet sprinkler increases by 21%. 7- By increasing the irrigation duration from 1 h to 3 h, the WDEL of Komet decreased by 24%. 8- By increasing the sprinkler rotation speed from 1.5 Rpm to 3.5 Rpm, the average WDEL of Komet decreased by 13.4 %. In general, the Komet sprinkler had more WDEL potential than the Luxor sprinkler, and also in the irrigation events of farmers, the amount of WDEL is lower than the reported values of the research.

1. Introduction

One of the effective parameters on the efficiency of sprinkler irrigation system is the amount of irrigation losses, most of which are shown in wind drift and evaporation losses (WDEL). These losses depend on climatic parameters (wind speed, air temperature, relative humidity, vapor pressure deficit, etc.) and irrigation system (nozzle diameter, water droplet diameter, nozzle height, working pressure, etc.). However, there are a series of parameters affecting WDEL that have not been investigated or are

less reported. Among these parameters, can mention the sprinkler building and the irrigation duration. In this research, the effect of the sprinkler rotation factor and its rotation speed, irrigation duration, the diameter of collection containers, and also the Interaction effects of the aforementioned parameters on wind drift and evaporation losses will be investigated.

2. Materials and Methods

The experiments of this research were carried out in the research farm of University of Kurdistan located in Dooshan village of Sanandaj city. Two Komet R8 and Luxor sprinklers were used. The working pressure of the sprinklers was considered to be 30 and 40 m. All experiments were performed in 3 replications, in the form of a completely randomized design and as a factorial experiment. An area of 3600 m² was divided with 3 × 3 m grids and water collection containers were placed at the vertices of the squares of each grid and a solid set sprinkler irrigation system was implemented. The tests were performed according to the ISO15886-3:2021 standard and by the single sprinkler method. The parameters of the diameter of water collection containers, wind speed, sprinkler working pressure, irrigation duration, sprinkler rotation speed, and sprinkler riser height were investigated.

3. Discussion and Conclusion

The results showed that 1- the diameter of water collection containers has no significant effect on WDEL. 2- Up to the wind speed of 11.5 km/h and the air temperature of 40 °C, there is no significant difference between the WDEL of sprinklers. 3- The average WDEL of Komet sprinkler in low wind speed is 8.5% and Luxor sprinkler is 10.4% and their difference is not significant. With the increase of wind speed from low to moderate, the average increase in WDEL of Komet sprinkler was 125% and Luxor sprinkler was 21% and their difference was significant ($P<0.05$). 4- In both sprinklers, WDEL increased with increasing working pressure, but neither the increase nor the difference between WDEL of sprinklers was significant. 5- In both sprinklers, WDEL increases with the increase of vapor pressure deficit, but this increase was significant only in Komet sprinkler and in the high range ($P<0.05$). 6- By increasing the riser height of the sprinkler from 1 m to 2 m, the WDEL of the Komet sprinkler increases by 21%. 7- By increasing the irrigation duration from 1 h to 3 h, the WDEL of Komet decreased by 24%. 8- By increasing the sprinkler rotation speed from 1.5 Rpm to 3.5 Rpm, the average WDEL of Komet decreased by 13.4%. In general, the Komet sprinkler had more WDEL potential than the Luxor sprinkler, and also in the irrigation events of farmers, the amount of WDEL is lower than the reported values of the research.

4. The most important references

- 1). Al-Ghabari, H. M., El-Marazky, M. S., Dewidar, A. Z., & Mattar, M. A. 2018. Prediction of wind drift and evaporation losses from sprinkler irrigation using neural network and multiple regression techniques. Agricultural Water Management, 195, 211-221
- 2). Dechemi, F., Playa'n, E., Cavero, J., Faci. and Martinez, A. 2003. Wind effect on solid set sprinkler irrigation depth and yield of maize (*Zea mays*). Irrigation science, 22:67-77.
- 3). Keller, J. and Bliesner, R.D. 1990. Sprinkler and Trickle Irrigation. AVI Book.Van NostrandReinhold. New York, USA.
- 4). Keller, J., and Bliesner, R. 2000. Sprinkle and trickle irrigation. Caldwell. In: NJ. The Blackburn Press. 351p.
- 5). Playa'n, E., Salvador, R., Faci, J.M., Zapata, N., Martínez-Cob, A. and Sánchez, I. 2005. Day and night wind drift and evaporation losses in sprinkler solid-sets and moving laterals. Journal of Agriculture Water Management. 76: 139–159.
- 6). Tarjuelo, J., Ortega, J., Montero, J., and De Juan, J. 2000. Modeling evaporation and drift losses in irrigation with medium size impact sprinklers under semi-arid conditions. Agricultural Water Management. 43:3. 263-284.

Conflict of Interest

Authors declared no conflict of interest.

بررسی اثر سرعت چرخش، عامل چرخش و مدت زمان آبیاری بر تلفات تبخیر و بادبردگی آبپاش‌های کشاورزی

*^۱ ندا کریمی^۱، دریا دهقان^۲، شاهو مولودی^۳، عادل سیوسه مرده^۴، عیسی معروف پور^۵

تاریخ ارسال: ۱۴۰۱/۱۰/۲۴

تاریخ پذیرش: ۱۴۰۲/۰۱/۱۶

مقاله پژوهشی

چکیده

هدف اصلی پژوهش حاضر بررسی اثر عامل چرخش، سرعت چرخش و مدت زمان آبیاری بر تلفات تبخیر و بادبردگی (WDEL) آبپاش‌های ضربه‌ای و چرخدنده‌ای می‌باشد. آزمایش‌ها در مزرعه تحقیقاتی دانشگاه کردستان و در محدوده‌ای به مساحت ۳۶۰۰ متر مربع به روش آبپاش منفرد روی دو آبپاش ضربه‌ای کامت R8 و چرخدنده‌ای لاسور انجام شد. نتایج نشان داد: ۱- تا سرعت باد ۱۱/۵ Km/h و دمای هوای ۴۰ درجه سانتی‌گراد، اختلاف معنی‌داری بین WDEL آبپاش‌های ضربه‌ای و چرخدنده‌ای وجود ندارد ۲- متوسط آبپاش کامت در سرعت باد کم ۸/۵% و لاسور ۱۰/۴% و اختلاف آنها معنی‌دار نبود. با افزایش سرعت باد از کم به ملایم، متوسط افزایش WDEL آبپاش کامت، ۱۲۵% و لاسور، ۲۱% و اختلاف آنها معنی‌دار شد ($P<0.05$). ۳- در هر دو آبپاش، با افزایش فشار کارکرد، WDEL افزایش پیدا کرد، اما این افزایش معنی‌دار نبود. ۴- در هر دو آبپاش با افزایش کمبود فشار بخار اشباع، WDEL افزایش می‌یابد اما این افزایش فقط در آبپاش کامت و در بازه زیاد معنی‌دار بود ($P<0.05$). ۵- با افزایش مدت زمان آبیاری از یک ساعت به سه ساعت، WDEL کامت ۲۴ درصد کاهش یافت. ۶- با افزایش سرعت چرخش آبپاش از ۱/۵ دور در دقیقه به ۳/۵ دور در دقیقه ۱۳/۴%، WDEL کامت کاهش یافت. به طور کلی آبپاش ضربه‌ای کامت پتانسیل WDEL بیشتری نسبت به آبپاش چرخدنده‌ای لاسور داشت و همچنین در رخدادهای آبیاری کشاورزان، میزان WDEL، کمتر از مقادیر گزارش شده تحقیقات می‌باشد.

واژه‌های کلیدی: آبیاری بارانی، آبپاش کامت R8، آبپاش لاسور، انواع آبپاش، راندمان کاربرد.

^۱ کارشناسی ارشد گروه علوم و مهندسی آب، دانشگاه کردستان، سنندج، ایران. Neda.karimi1365@gmail.com

^۲ کارشناس پژوهشی گروه فرآیندها و پیش‌بینی‌های هیدرولوژیکی، پژوهشکده مطالعات و تحقیقات منابع آب، مؤسسه تحقیقات آب وزارت نیرو، تهران، ایران. Darya.dehghan@ut.ac.ir

^۳ کارشناس آب منطقه‌ای استان کردستان، سنندج، ایران. Shaho.mhe@gmail.com

^۴ دانشیار گروه مهندسی تولید و ژنتیک گیاهی، دانشگاه کردستان، سنندج، ایران. A33@uok.ac.ir

^۵ استاد گروه علوم و مهندسی آب، دانشگاه کردستان، سنندج، ایران (* نویسنده مسئول)

Email: E.maroufpoor@uok.ac.ir



مقدمه

Schwalon, 1955). یکی از اجزای مهم ساختمان آپاش، عامل چرخش آپاش است. بر اساس عامل چرخش، دو مدل رایج آپاش‌های کشاورزی، آپاش‌های ضربه‌ای و آپاش‌های چرخدنده‌ای (توربینی) هستند (Keller and Bliesner, 1990). در آپاش‌های ضربه‌ای، جریان آب پس از عبور از ون و لوله آپاش و برخورد با قاشقک بازوی متحرک، در هوا پخش می‌شود اما در آپاش‌های چرخدنده‌ای جریان آب پس از عبور از میان چرخدنده‌ها و یا توربین و عبور از ون و لوله آپاش، در هوا پخش می‌گردد. بنابراین حرکت آپاش‌های ضربه‌ای به صورت متناوب و حرکت آپاش‌های توربینی به صورت پیوسته می‌باشد. سرعت چرخش آپاش از دیگر مشخصات مکانیکی مهم ساختمان آپاش است. کارخانه‌های تولیدی آپاش، سرعت چرخش را از یک چرخش در هر ۳ دقیقه تا ۲ چرخش در دقیقه تنظیم می‌کنند. فرسودگی فنر آپاش و یا چرخدنده‌ها در دوره بهره‌برداری و همچنین تعمیرات آن‌ها، سبب تغییر سرعت چرخش آپاش می‌شود. افزایش سرعت چرخش آپاش سبب بههم‌ریختگی الگوی پاشش آپاش و همچنین کاهش قطر پراکنش آب و مسافت طی شده توسط قطرات آب می‌گردد. یکی از عوامل مهم دیگر پارامترهای سیستمی، مدت زمان آبیاری است. مدت زمان آبیاری بر اساس نیاز آبی گیاه و شدت پخش آپاش محاسبه می‌شود. با کاهش شدت پخش آب، مدت زمان آبیاری افزایش می‌یابد. در استاندارد ISO 15886-3 آزمون عملکرد آپاش‌ها، یک ساعت ذکر شده است (ISO 15886-3, 2021). در صورتی که در طی مدت زمان آبیاری، شرایط اقلیمی مزرعه از جمله درجه حرارت، رطوبت نسبی و در نتیجه، کمبود فشار بخار اشباع تغییر می‌کند. بر اساس یافته‌های Lorenzini, 2002، رابطه میزان تلفات تبخیر و بادبردگی و درجه حرارت، یک رابطه لگاریتمی است. همچنین افزایش رطوبت نسبی و کاهش کمبود فشار بخار اشباع سبب کاهش تلفات تبخیر

از عوامل مؤثر در کارآیی و راندمان بهینه سامانه‌های آبیاری بارانی میزان تلفات آبیاری می‌باشد که قسمت Dylla and Shull, 1983 (et al., 2005) میزان تلفات تبخیر و بادبردگی به شرایط اقلیمی و سیستمی سامانه آبیاری وابسته است (Playán, 1990). برخی محققین میزان آن را ۵-۱۰٪ (Keller and Bliesner, 1990; Yazar, 1984; Montero, 1999) مقدار آن را تا ۳۰٪ (Frost and Schwalon, 1955; Faci and Bercero, 1991) گزارش کرده‌اند. عوامل زیادی بر میزان تلفات تبخیر و بادبردگی مؤثر است که می‌توان آن‌ها را به پارامترهای اقلیمی و سیستمی طبقه‌بندی کرد (McLean et al., 2000). بنابراین تنها روش به حداقل رساندن میزان تلفات تبخیر و بادبردگی، مدیریت پارامترهای سیستمی و اصلاح سامانه آبیاری می‌باشد (Peters et al., 2016; Maroufpoor et al., 2019; Mohammad et al., 2019).

عوامل اقلیمی که تاکنون از نظر محققین مختلف بر تلفات تبخیر و بادبردگی اثر داشته‌اند، شامل سرعت باد، دمای هوا، رطوبت نسبی، کمبود فشار بخار و تشعشهای خورشیدی می‌باشد (De Wrachien, and Lorenzini, 2006). از عوامل سیستمی مؤثر بر تلفات تبخیر و بادبردگی که تاکنون ذکر شده‌اند، می‌توان به قطر نازل، قطر قطرات آب، ارتفاع نازل و فشار کارکرد آپاش اشاره کرد (Keller and Bliesner, 1990; Playán et al., 2005) اما از عوامل سیستمی، پارامترهای دیگری هم وجود دارند که می‌توانند بر میزان تلفات تبخیر و بادبردگی مؤثر باشند که کمتر مورد توجه قرار گرفته‌اند و یا گزارش نشده‌اند. ساختمان آپاش یکی از عوامل مهم پارامترهای سیستمی است که بر قطر قطرات آب و الگوی توزیع آن‌ها مؤثر است. قطرات بسیار ریز، سبک هستند و می‌توانند مسافت بیشتری را طی کنند؛ در نتیجه بیشتر در معرض تلفات تبخیر و بادبردگی قرار می‌گیرند (Al-Ghobari et al., 2018; Sarwar et al., 2021) و تا ۲۵ درصد تلفات تبخیر و بادبردگی افزایش می‌یابد (

تبخیر و بادبردگی اشاره می شود. حسینی و همکاران (۱۳۹۹) اثر پارامترهای مختلف اقلیمی بر تلفات تبخیر و F33AS 11/64" بادبردگی را با استفاده از آپاش مدل" مورد مطالعه قرار دادند. نتایج نشان داد پارامترهای سرعت باد و کمبود فشار بخار اشباع به ترتیب، بیشترین و کمترین تأثیر را بر تلفات تبخیر و بادبردگی دارند. Matter et al. (2022) سعی کردند معادلاتی را مبتنی بر روش‌های مختلف شبکه‌های هوشمند جهت تخمین تلفات تبخیر و بادبردگی توسعه دهند. نتایج نشان داد معادله توسعه‌یافته مبتنی بر شبکه عصبی، دقیق‌ترین معادله و معادله یشنهدایی بر اساس رگرسیون برداری پشتیبان، کمترین دقت را در برآورد مقدار تلفات تبخیر و بادبردگی داشت. Sarwar et al. (2020) نیز مطالعه‌ای را جهت برآورد تلفات تبخیر و بادبردگی با استفاده از شبکه‌های هوشمند انجام دادند. نتایج این مطالعه، یافته‌های Matter et al. (2022) را تأیید کرد و شبکه عصبی را در برآورد تلفات تبخیر و بادبردگی، توانمند معرفی می‌کند. ساعدی و پیترز (۱۴۰۱) با استفاده از شبکه‌های عصبی مصنوعی، رلنمان دبی آبپاش را که خود، وابسته به پارامتر تلفات تبخیر و بادبردگی است، برآورد کردند. نتایج نشان داد که مدل توسعه‌یافته می‌تواند با دقت بالایی رلنمان دبی آبپاش را برآورد کرده و به عنوان یک روش قابل اطمینان در ارزیابی عملکرد سامانه‌های آبیاری بارانی استفاده شود.

تحقیقین فراوانی اثر سایر پارامترهای سیستمی همچون فشار کارکرد آبپاش و ارتفاع پایه آن و پارامترهای اقلیمی مانند سرعت باد و کمبود فشار بخار اشباع را مورد بررسی قرار داده‌اند (Yazar, 1984; De Wrachien, 2000; and Lorenzini, 2012; Molle et al., 2012; Naderianfar et al., 2018; Al-Ghabari et al., 2018)، اما تاکنون تحقیقات کمی بر روی اثر عوامل ساختمان آبپاش همچون عامل چرخش و سرعت چرخش آبپاش، قطر ظروف جمع‌آوری نمونه‌ها و یا مدت زمان آبیاری بر میزان تلفات تبخیر و بادبردگی انجام شده و یا گزارش نشده است. در تحقیق حاضر علاوه بر پارامترهای ذکر شده، اثر عوامل اقلیمی نیز بر میزان تلفات تبخیر و باد بردگی مورد مطالعه قرار خواهد گرفت. بنابراین اهداف

Playán et al., 2005; Alnaizy and (Simonet, 2012; Al-Ghabari et al., 2018

می‌گردد (Playán et al. (2005) در تحقیقات خود در منطقه زارگوزای اسپانیا با شرایط اقلیمی نیمه‌خشک، گزارش کردند که اثر آبیاری بارانی بر شرایط اقلیمی مزرعه متوسط بود. آن‌ها میزان افزایش رطوبت نسبی را ۳/۹ درصد و میزان کاهش دمای مزرعه را ۰/۵ درجه سانتی‌گراد، در طی رخداد آبیاری و چند دقیقه پس از شروع آبیاری گزارش کردند. آن‌ها همچنین گزارش کردند که تغییر شرایط اقلیمی مزرعه سبب کاهش تبخیر و تعرق محصول در طی رخداد آبیاری به میزان ۰/۰۲۳ میلی‌متر Martínez-Cob et al., 2008) در ساعت گردید. همچنین (در منطقه مونتنا، در زارگوزای اسپانیا گزارش کردند که تلفات تبخیر و بادبردگی با تغییر مقادیر پارامترهای اقلیمی مزرعه، سبب کاهش میزان تبخیر و تعرق محصول می‌شود. آن‌ها گزارش کردند که تلفات تبخیر و بادبردگی با متوسط مقدار ۱۹/۳٪ در طی فصل آبیاری، میزان آب مورد نیاز مزرعه را ۱/۸ تا ۴/۹٪ کاهش داد. از پارامترهای مهم دیگر که می‌تواند بر نتایج روش مزرعه‌ای اندازه‌گیری میزان تلفات تبخیر و بادبرگی مؤثر باشد، قطر ظروف جمع‌آوری است. بر اساس استاندارد ISO 15886-3 قطر ظروف جمع‌آوری نباید کمتر از ۸۵ میلی‌متر باشد. قطر ظروف بليد قابلیت کافی برای جمع آوری آب در شرایط باد را داشته باشد (Playán et al. (2005)). همچنین آب جمع‌آوری شده در داخل این ظروف، در طی مدت‌زمان قریبی ظروف در زمان آزمایش، در معرض تبخیر قرار دارد و یک منبع خطا در انجام آزمایشات است (Seginer et al., 1991).

Playán et al. (2005) در تحقیقات خود از ظروف جمع‌آوری با سه قطر ۷۹ میلی‌متر، ۱۳۰ میلی‌متر و ۲۱۰ میلی‌متر استفاده کردند. آن‌ها گزارش کردند که قطر مناسب ظروف جمع‌آوری تابع پارامترهای اقلیمی متفاوتی همچون سرعت باد، درجه حرارت و رطوبت نسبی است. نتایج آن‌ها نشان داد که در برخی موارد، بین عمق آب جمع‌آوری شده در ظروف اختلاف معنی دار وجود دارد. در ادامه به برخی مطالعات جدید گزارش شده، در خصوص تلفات

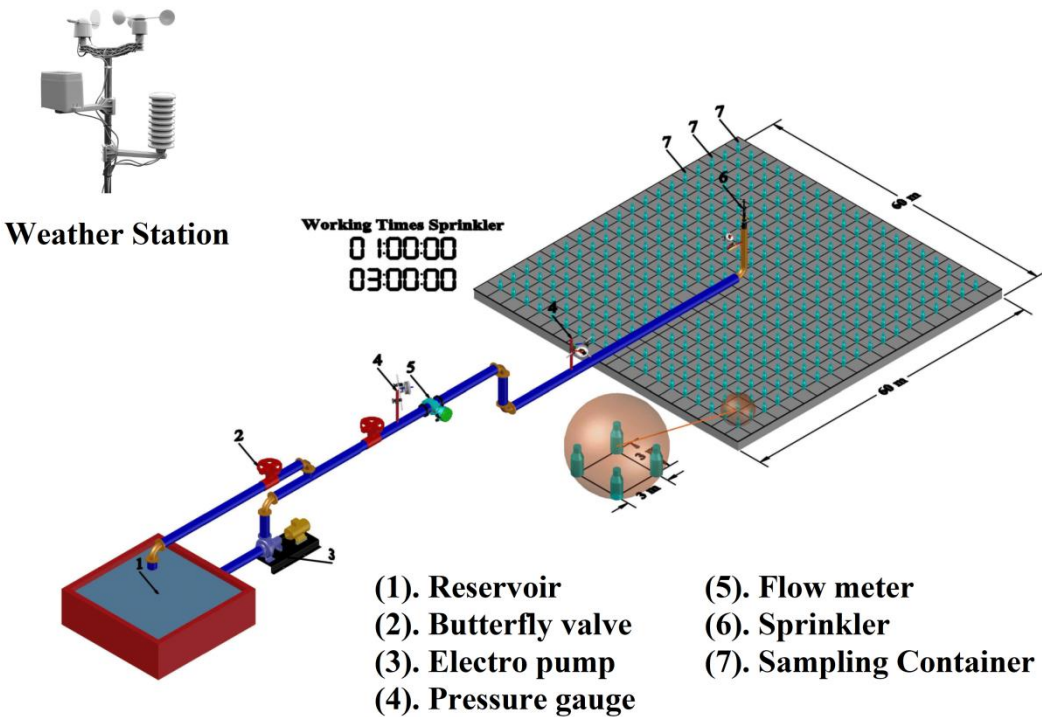


شرقی و "۱۹'۰۰۳۵° شمالی انجام شد (شکل (۱)). آزمایش‌ها بر اساس استاندارد ISO15886-3:2021 و به روش آپیاش منفرد انجام شد. محدوده مذکور با ابعاد 3×3 متر شبکه‌بندی شد و ظروف جمع‌آوری آب در رؤوس مربع‌های شبکه قرار گرفتند. در محدوده مذکور سامانه آبیاری بارانی کلاسیک ثابت اجرا گردید؛ به‌طوری‌که آپیاش در مرکز محدوده قرار داشت (شکل (۱)). سامانه مذکور شامل یک دستگاه الکتروپمپ فشار قوی $80/4$ WKL جهت تأمین فشار آب، لوله اصلی انتقال آب، لوله کنارگذر برای تنظیم نقطه کار پمپ، شیر پرولنده‌ای برای تنظیم جریان، کنتور حجمی جهت اندازه‌گیری جریان و فشارسنج برای اندازه‌گیری فشار آب بود.

اصلی تحقیق حاضر عبارت است از ۱- بررسی اثر عامل چرخش آپیاش و سرعت آن بر میزان تلفات تبخیر و بادبردگی در سامانه آبیاری بارانی کلاسیک ثابت، ۲- بررسی اثر مدت‌زمان آبیاری بر میزان تلفات مذکور، و ۳- بررسی اثر قطر ظروف جمع‌آوری بر میزان تلفات اندازه‌گیری شده در شرایط مزرعه‌ای. همچنین اثرات مقابله این پارامترها در شرایط اقلیمی منطقه مورد مطالعه، بر میزان تلفات تبخیر و بادبردگی نیز بررسی خواهد شد.

مواد و روش‌ها

آزمایش‌ها در محدوده‌ای به مساحت 3600 مترمربع از مزرعه تحقیقاتی دانشگاه کردستان واقع در روستای دوشان شهر سنندج با موقعیت جغرافیایی $46^{\circ}59'45''$ و $36^{\circ}00'19''$



شکل (۱): جغرافیای منطقه مورد مطالعه و نمایی از مدل انجام آزمایشات



جمع آوری آب، سرعت باد و فشار کارکرد آبپاش برای هر دو آبپاش و سه تیمار مدت زمان آبیاری، سرعت چرخش آبپاش و ارتفاع پایه آبپاش برای آبپاش کامت R8 در فشار کارکرد ۴۰ متر بود. تمامی آزمایش‌ها در ۳ تکرار انجام شدند. مشخصات تیمارها در **Error! Reference source** ارائه شده است.

آبپاش ضربه‌ای کامت R8 (Austria) Company Komet.Lienz Sime.Guastalla Italy (Company) با دو نازل ۱۲ میلی‌متری و آبپاش چرخ‌نده‌ای لاسور (Company) با یک نازل ۱۲ میلی‌متری در آزمایش‌ها مورد استفاده قرار گرفتند.

آزمایش‌ها در قلب طرح کاملاً تصادفی به صورت آزمایش فاکتوریل انجام شد. تیمارها شامل قطعه ظروف

جدول (۱): تیمارهای آزمایش‌ها و محدوده تغییرات آن‌ها

آبپاش مورد بررسی	محدوده تغییرات	تیمارها
کامت R8، لاسور	۱۸۰، ۸۰	قطر ظروف جمع آوری آب (mm)
کامت R8، لاسور	۱/۸ - ۰ ۴/۵ - ۱/۸	سرعت باد (m/s)
کامت R8، لاسور	۴۰، ۳۰	فشار کارکرد آبپاش (m)
کامت R8	۳، ۱	مدت زمان آبیاری (h)
کامت R8	۲، ۱	ارتفاع پایه آبپاش (m)
کامت R8	۳/۵، ۱/۵	سرعت چرخش آبپاش (rpm)

ظروف شاهد نیز اندازه‌گیری گردید. در بازه زمانی انجام آزمایش‌ها هر ۱۵ دقیقه، پارامترهای درجه حرارت، رطوبت نسبی و سرعت باد با استفاده از دستگاه سه کاره 45158 Min. Hygro Thermo-Anemometer (Extech, Nashua, NH, USA) تغییرات پارامترهای مذکور در بازه انجام آزمایش‌ها در جدول (۲) ذکر گردیده است.

میزان تلفات تبخیر و بادبردگی در طی زمان انجام آزمایش‌ها، با استفاده از رابطه ۱ محاسبه شد:

$$L_s = \frac{9 \times \sum_{i=1}^n x_i}{\text{حجم آب خارج شده از آبپاش}} \times 100 \quad (1)$$

که در این رابطه، L_s : میزان تلفات تبخیر و بادبردگی (درصد) و x_i : عمق آب جمع آوری شده در قوطی Ω بوده و همچنین ضریب ۹ مربوط به مساحت تحت پوشش هر قوطی بر حسب مترمربع می‌باشد. به منظور محاسبه تبخیر از ظروف جمع آوری در هین آزمایش و همچنین در طی فرائت ظروف، از ۳ ظرف شاهد در مجاور محدوده شبکه‌بندی شده، استفاده شد. عمق آب داخل ظروف شاهد معادل عمق آب ظروف جمع آوری درنظر گرفته شد (Playán et al., 2005). در پایان هر آزمایش پس از اندازه‌گیری حجم آب داخل ظروف جمع آوری، حجم آب

اما بین نتایج ظروف متوسط و بزرگ اختلاف معنی‌داری وجود نداشت. آنان تا سرعت باد Km/h ۱۶/۲ استفاده از ظروف کوچک را پیشنهاد نمودند و همچنین گزارش کردند که تفاوت بین نتایج ظروف را نمی‌توان به دمای هوا و یا رطوبت نسبی منطقه ارتباط داد بلکه نقش خطاها اندازه‌گیری را مؤثر و مهم دانستند. در استاندارد ISO15886-3، جهت ارزیابی عملکرد آبپاش‌ها، حداقل قطر ظروف جمع‌آوری mm ۸۵ ذکر شده است. بنابراین برای منطقه مورد مطالعه، حداقل قطر پیشنهادشده کفایت می‌کند. پارامترهای اقلیمی (باد) و هیدرولیکی متعددی (ساختمان آبپاش و فشار کارکرد آبپاش) بر الگوی پخش آب آبپاش تأثیر دارند. در صورتی که سطح آبگیری ظرف کافی باشد، قطرات آب آبگیری شده، الگوی قابل قبولی از الگوی کامل پاشش آبپاش خواهد بود. در آن صورت، بین عمق آب داخل ظروف با قطرهای متفاوت، اختلاف معنی‌داری وجود نخواهد داشت. کریمی و همچنین (۱۴۰۱) گزارش کردند که بین عمق آب و همچنین مقادیر ضریب یکنواختی ظروف با قطرهای ۸۰ و ۱۸۰ میلی‌متر در منطقه مورد مطالعه تحقیق **حاضر**، اختلاف معنی‌داری وجود نداشت. بنابراین کفایت قطر ظروف به شرایط کلیماتولوژی منطقه و هیدرولیکی سامانه آبیاری که الگوی پاشش آبپاش را تحت تأثیر قرار می‌دهد، بستگی دارد و نمی‌توان آن را به تغییرات تک‌تک پارامترها نسبت داد.

جدول (۲): محدوده تغییرات پارامترهای درجه حرارت، رطوبت نسبی و سرعت باد در بازه زمانی انجام آزمایشات

سرعت باد (m/s)	درجه حرارت (c°)	رطوبت نسبی (%)	(kPa)
۳/۰-۲/۷۳	۲۵-۴۰	۸-۳۰	۶/۲-۱/۳

نتایج و بحث

اثر قطر ظروف جمع‌آوری بر میزان WDEL

در جدول (۳) نتایج تجزیه واریانس اثر قطر ظروف جمع‌آوری آب بر میزان تلفات تبخیر و بادبردگی آبپاش‌ها (WDEL) نشان داده شده است. در هر دو آبپاش مورد مطالعه، اثر قطر ظروف بر میزان WDEL معنی‌دار نبوده است. در زمان انجام آزمایش‌ها، سرعت باد در بازه km/h ۲/۶ تا ۱۱/۵، دمای هوا در بازه ۲۵ تا ۴۰ درجه‌سانتی‌گراد و رطوبت نسبی در بازه ۸ تا ۳۰ درصد بود. متوسط تلفات تبخیر و بادبردگی آبپاش کامت ۱۳/۸ درصد و آبپاش لاسور ۱۱/۶ درصد بود. (Playán et al. (2005) اثر سه قطر ظروف کوچک، متوسط و بزرگ (۸۰، ۱۳۰ و ۲۱۰ میلی‌متر) را بر میزان WDEL بررسی کردند و گزارش کردند که بین نتایج ظروف کوچک و متوسط و همچنین کوچک و بزرگ اختلاف معنی‌دار وجود داشت ($P<0.05$)

جدول (۳): نتایج تجزیه واریانس قطر ظروف جمع‌آوری بر میزان تلفات تبخیر و بادبردگی آبپاش‌ها

نوع آبپاش	منبع تغییرات	درجه آزادی	میانگین مراعات	F	Pr	سطح معنی‌داری
R8	بین گروه‌ها*	۱	۶/۴۳×۱۰	۱/۸۴	۰/۱۹	>۱
	داخل گروه‌ها	۲۲	۳/۴۹×۱۰	---	---	>۱
لاکسور	بین گروه‌ها*	۱	۶/۸۹	۰/۹۴	۰/۳۴	>۱
	داخل گروه‌ها	۲۲	۷/۳۳	---	---	>۱

* عدم وجود اختلاف معنی‌دار در سطح اطمینان ۹۹ درصد ($P>0.01$)



تحقیق نشان داد که تا سرعت باد $11/5 \text{ Km/h}$ و همچنین متوسط دمای هوای 40°C درجه سانتیگراد اختلاف معنی داری بین آپاش های ضربه ای و چرخ دنده ای در شرایط هیدرولیکی مورد مطالعه وجود ندارد.

سرعت باد

اثر سرعت باد بر WDEL معنی دار بود ($P<0.05$)

جدول (۴): تجزیه واریانس اثر پارامترهای مختلف هیدرولیکی و کلیماتولوژی و همچنین اثرات متقابل آنها بر میزان تلفات تبخیر و

). در شکل (۲) اثر دو سرعت باد کم و ملایم بر WDEL به تفکیک آپاش ها نشان داده شده است. در هر دو آپاش، با افزایش سرعت باد، WDEL به طور معنی داری افزایش یافته است ($P<0.05$). متوسط آپاش کامت در سرعت های باد کم و ملایم، به ترتیب، $8/5$ درصد و $19/1$ درصد و آپاش لاکسور به ترتیب، $10/4$ درصد و $13/2$ درصد بود. با افزایش سرعت باد از کم به ملایم، متوسط افزایش WDEL آپاش کامت، 125 درصد و آپاش لاکسور، 21 درصد بود. همچنین آپاش ها در سرعت باد کم، غیر معنی دار، اما در سرعت باد ملایم معنی دار است ($P<0.05$). سرعت باد یکی از عوامل جوی است که تأثیر مستقیمی بر WDEL دارد. افزایش سرعت باد سبب جایه جایی لایه بخار آب در منطقه پاشش آپاش ها شده و تلفات تبخیر را افزایش می دهد. همچنین با افزایش سرعت باد، میزان بادبردگی در منطقه آپاش ها نیز بیشتر می گردد. نتایج نشان داد که پتانسیل تبخیر و بادبردگی قطرات آب آپاش کامت بسیار بیشتر از آپاش لاکسور است؛ به طور که با افزایش سرعت باد از کم به ملایم، WDEL آپاش کامت بسیار افزایش می یابد و با WDEL آپاش لاکسور تفاوت معنی دار پیدا می کند ($P<0.05$). متوسط شعاع پاشش آپاش کامت در فشارهای کارکرد 30 و 40 متر به ترتیب 23 و 26 متر و آپاش لاکسور 23 و 24 متر بود. بنابراین مسافت طی شده توسط قطرات آب دو آپاش، تفاوت چندانی با یکدیگر ندارند. همچنین فشار کارکرد و قطر نازل دو آپاش یکسان است.

اثر برخی پارامترهای مستقل بر میزان WDEL آپاش ها در

جدول (۴): تجزیه واریانس اثر پارامترهای مختلف هیدرولیکی و کلیماتولوژی و همچنین اثرات متقابل آنها بر میزان تلفات تبخیر و

نتایج تجزیه واریانس پارامترهای مختلف هیدرولیکی و کلیماتولوژی بر WDEL آپاش ها نشان داده شده است. در ادامه، اثر هر کدام از پارامترها بر WDEL مورد بررسی قرار می گیرد.

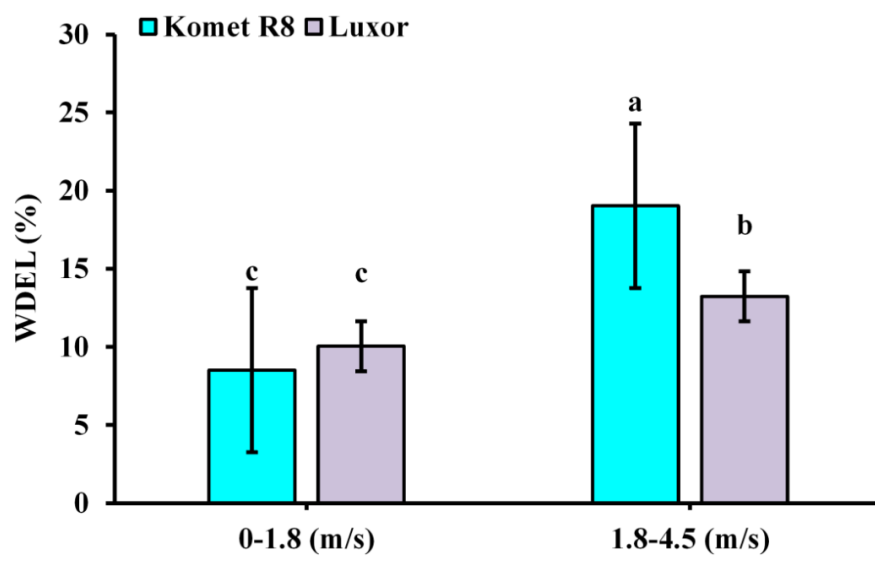
نوع آپاش

اثر نوع آپاش بر WDEL معنی دار نبوده است. به عبارتی، اختلاف معنی داری بین WDEL آپاش کامت و آپاش لاکسور در شرایط هیدرولیکی و کلیماتولوژی یکسان وجود نداشت. آپاش کامت از نوع ضربه ای و آپاش لاکسور از نوع توربینی می باشد. بنابراین عامل حرکت آپاش کامت در اثر جایه جایی بازوی متحرک و ضربه آن به بدنه آپاش، و عامل حرکت آپاش لاکسور، چرخش چرخ دنده های آن می باشد. حرکت آپاش کامت به صورت ناپیوسته و متناوب بوده و حرکت آپاش لاکسور به صورت پیوسته و مداوم است. تفاوت در ساختمان آپاش ها، می تواند سبب تفاوت در الگوی پاشش و یا اندازه قطرات آب گردد. تلفات تبخیر و بادبردگی شامل دو بخش تلفات تبخیر و تلفات بادبردگی می باشد. تلفات تبخیر در طی مسافت خروج قطرات آب از دهانه آپاش تا رسیدن به زمین روی می دهد و تلفات بادبردگی در شرایطی که اندازه قطرات آب، کوچک و سرعت باد کافی باشد اتفاق می افتد. لندازه قطرات آب، تابع قطر نازل، فشار کارکرد آپاش و ساختمان آپاش می باشد (Keller and Bliesner, 2000). قطر نازل هر دو آپاش 12 میلی متر و فشار کارکرد آنها 30 و 40 متر بود. در مورد تفاوت بین آپاش های ضربه ای و چرخ دنده ای، تحقیقات کمی صورت گرفته و یا گزارش نشده است. نتایج این

al. (2005). آن را به عنوان متغیر مستقل اصلی در معادلات تخمین WDEL معرفی نمودند.

رستمیان و همکاران (۱۳۹۳) با مطالعه بر روی سه آپاش مختلف، میزان تلفات تبخیر و بادبردگی و همچنین عوامل مؤثر بر آن را مورد مطالعه قرار دادند. نتایج نشان داد که همبستگی پارامتر سرعت باد با میزان تلفات در آپاش‌های ZK30 و ZM22 و AMBO فاقد درصد و ۵ درصد معنی‌دار، و در آپاش AMBO همبستگی معنی‌داری می‌باشد. به طور کلی میزان تلفات تبخیر و بادبردگی با افزایش ۱ متر بر ثانیه بر سرعت باد، به میزان ۹/۴ درصد افزایش می‌یافتد. حسینی و همکاران (۱۳۹۹) تلفات تبخیر و بادبردگی سامانه آبیاری عقربه‌ای در منطقه مغان را مورد بررسی قرار دادند. نتایج نشان داد تلفات تبخیر و بادبردگی ارتباط مستقیمی با سرعت باد در منطقه دارد؛ به طوریکه در سرعت باد کمتر از ۳ متر بر ثانیه پارامترهای ضریب یکنواختی، یکنواختی توزیع و راندمان‌های پتانسیل و واقعی ربع پایین در محدوده مناسبی قرار گرفتند.

بنابراین عامل اصلی این پدیده، تفاوت در ساختمان دو آپاش است. ضربات مکرر بازوی متحرک به جت آب و همچنین حرکت سریع آپاش کامت هنگام ضربه (در مقليل حرکت آرام و پيوسته آپاش لاکسور)، منجر به تولید قطراتی از آب می‌گردد که پتانسیل بالایی برای تبخیر و بادبردگی پیدا می‌کند. (Kincaid, 1996) میزان WDEL را وابسته به سرعت باد، لندازه قطرات آب و مسافت طی شده قطرات قبل از رسیدن به زمین دانست. Dechemi et al. (2003) گزارش کردند در سرعت‌های WDEL باد بیشتر از ۷/۶ Km/h کیلومتر بر ساعت، میزان Alnaizy با افزایش سرعت باد بیشتر می‌شود. همچنین and Simonet (2012) نیز گزارش کردند که به طور کلی با افزایش سرعت باد تلفات تبخیر و بادبردگی نیز افزایش خواهد یافت. Tarjuelo et al. (2000) سرعت باد را به عنوان تأثیرگذارترین پارامتر بر WDEL و Playán et



شکل (۲): اثر سرعت باد بر تلفات تبخیر و بادبرگی دو آپاش کامت R8 و لاکسور (ستون‌هایی که دارای حداقل یک حرف مشترک هستند، در سطح ۵ درصد اختلاف معنی‌داری ندارن



جدول (۴): تجزیه واریانس اثر پارامترهای مختلف هیدرولیکی و کلیماتولوژی و همچنین اثرات متقابل آن‌ها بر میزان تلفات تبخیر و بادبردگی آبپاش‌های کامت R8 و لاسور

تعداد پارامتر	منبع تغییرات	آزادی	میانگین مربعات	F	Pr	سطح معنی‌داری (%)
یک پارامتره	نوع آبپاش*	۱	$2/73 \times 10^0$	۱/۲۴	۰/۲۸	۰/۲۸
	سرعت باد	۱	$2/82 \times 10^{-2}$	۲۷/۱۷	۰/۰۰	۰/۰۰
	فشار کارکرد*	۱	$4/60 \times 10^0$	۲/۱۸	۰/۱۵	۰/۱۵
	كمبود فشار بخار اشباع	۲	$1/0.4 \times 10^{-2}$	۷/۱۵	۰/۰۰	۰/۰۰
	نوع آبپاش × سرعت باد	۳	$1/30 \times 10^{-2}$	۲۱/۵۳	۰/۰۰	۰/۰۰
	نوع آبپاش × فشار کارکرد*	۳	$2/75 \times 10^0$	۱/۲۸	۰/۳۱	<۵
	نوع آبپاش × کمبود فشار بخار اشباع	۵	$5/47 \times 10^0$	۴/۱۵	۰/۰۱	۰/۰۱
	سرعت باد × فشار کارکرد	۳	$1/15 \times 10^{-2}$	۱۳/۸۰	۰/۰۰	۰/۰۰
	سرعت باد × کمبود فشار بخار اشباع	۵	$7/0.3 \times 10^0$	۷/۹۶	۰/۰۰	۰/۰۰
	فشار کارکرد × کمبود فشار بخار اشباع	۵	$5/74 \times 10^0$	۴/۶۲	۰/۰۱	۰/۰۰
دو پارامتره	سرعت باد × فشار کارکرد × کمبود فشار بخار اشباع	۱۱	$7/94 \times 10^0$	۸/۱۸	۰/۰۰	۰/۰۰
سه پارامتره						

* عدم وجود اختلاف معنی‌دار در سطح اطمینان ۹۵ درصد ($P>0.05$)

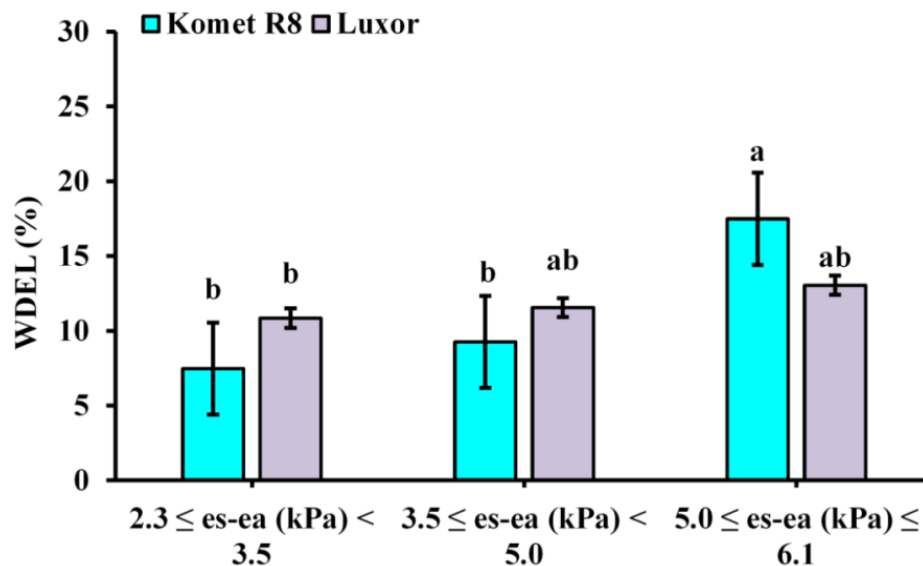
حاضر، اثر فشار کارکرد بر WDEL هر دو آبپاش یکسان بود.

موسوی بایگی و همکاران (۱۳۸۸) تلفات تبخیر و بادبردگی سامانه آبیاری بارانی را در ۳ فشار مختلف (۳۵۰، ۴۰۰ و ۴۰۰ کیلوپاسکال) و برای آبپاش دو نازله VYR 35 مورد بررسی قرار دادند. نتایج نشان داد با افزایش فشار، مقدار تلفات افزایش یافته است، اما این افزایش معنی‌دار نبوده است. آذربو و همکاران (۱۳۹۵) با هدف شناسایی عوامل مؤثر بر میزان تلفات تبخیر و بادبردگی آزمایشاتی را روی آبپاش‌های ضربه‌ای ZK30، AMBO و ZM22 در شهرستان سنتندج انجام دادند. نتایج نشان داد که در هر سه آبپاش مورد آزمایش، پارامترهای کمبود فشار بخار اشباع و دما بیشترین میزان

فشار کارکرد آبپاش

متوسط آبپاش کامت در فشارهای کارکرد ۳۰ و ۴۰ متر به ترتیب $11/8$ و $15/8$ درصد و آبپاش لاسور $10/9$ و $12/4$ درصد بود. اثر فشار کارکرد آبپاش‌ها بر WDEL معنی‌دار نبود و همچنین آبپاش‌ها در Keller and Bliesner (2000) شاخص درشتی قطرات ($D(mm)$) را برای تعیین $P(kPa)$ ، $CI = 0.032 P^{1/3}/D$ اندازه قطرات آب ارائه دادند. بر اساس شاخص CI ، در هر دو فشار کارکرد، اندازه قطرات آب در محدوده کمتر از ۷ قرار می‌گیرد که در طیف قطرات درشت است. افزایش فشار کارکرد، سبب کوچکتر شدن قطرات آب گردیده و پتانسیل تبخیر و بادبردگی را افزایش می‌دهد. به عبارتی نتایج نشان داد که در هر دو آبپاش، با افزایش فشار کارکرد، آبپاش‌ها افزایش پیدا کرد اما این افزایش برای هیچ کدام از آبپاش‌ها، معنی‌دار نبود. بنابراین در محدوده تغییرات عوامل کلیماتولوژی و هیدرولیکی طرح

کمبود فشار بخار اشباع، WDEL آبپاش لاکسور همانند آبپاش کامت افزایش یافت اما این افزایش معنی دار نبود. همچنین در هیچ کدام از بازه های کمبود فشار بخار اشباع، بین WDEL آبپاش ها اختلاف معنی دار وجود نداشت. بنابراین با افزایش کمبود فشار بخار اشباع، اندازه قطرات آبپاش کامت پتانسیل بیشتری برای WDEL دارد که با نتایج قبلی در مورد اثر سرعت باد بر WDEL آبپاش کامت مطابقت دارد. (Montero et al. 2000) پس از توسعه معادلاتی جهت تخمین WDEL، توصیه کردند که تأثیر پارامترهای درجه حرارت و رطوبت نسبی هوا در قالب کمبود فشار بخار در معادلات لحاظ شود، زیرا همبستگی بیشتری را نشان می دهد. بر اساس مطالعات انجام شده Playán et al., 2005; Bavi, 2009; Alnaizy and Simonet, 2012; Al-Ghabari et al., 2018 افزایش رطوبت نسبی و کاهش کمبود فشار بخار اشباع سبب کاهش تلفات تبخیر می شود.



شکل (۳): اثر کمبود فشار بخار اشباع هوا بر تلفات تبخیر و بادبرگی دو آبپاش کامت R8 و لاکسور (ستون هایی که دارای حداقل یک حرف مشترک هستند، در سطح ۵ درصد اختلاف معنی داری ندارند)

اثرات متقابل پارامترها بر تلفات تبخیر و بادبرگی آبپاش ها

اثرات متقابل پارامترهای نوع آبپاش و سرعت باد، نوع آبپاش و فشار کارکرد و همچنین نوع آبپاش و کمبود فشار بخار اشباع در بخش های قبلی ذکر شد. اثر متقابل پارامترهای سرعت باد و فشار کارکرد، سرعت باد و کمبود

همبستگی را با تلفات تبخیر و بادبرگی دارند و این همبستگی در سطح احتمال ۱ درصد معنی دار است.

اثر کمبود فشار بخار اشباع
اثر کمبود فشار بخار اشباع منطقه بر WDEL معنی دار (P<0.05) است

جدول (۴): تجزیه واریانس اثر پارامترهای مختلف هیدرولیکی و کلیماتولوژی و همچنین اثرات متقابل آن ها بر میزان تلفات تبخیر و

). در شکل (۳)، اثر کمبود فشار بخار اشباع بر WDEL، به تفکیک آبپاش ها نشان داده شده است. در هر دو آبپاش با افزایش کمبود فشار بخار اشباع، WDEL آبپاش ها افزایش می یابند اما این افزایش فقط در آبپاش کامت و در بازه زیاد معنی دار بود (P<0.05). به عبارتی با افزایش



ارتفاع پایه آبپاش بر WDEL را معنی دار گزارش کردند. عدم تطابق نتایج این محققین با نتایج طرح حاضر، به دلیل تفاوت در وضعیت منطقه مورد مطالعه آنها می باشد، زیرا اثر هر کدام از پارامترهای هیدرولیکی و یا کلیماتولوژی بر روی WDEL، تحت تأثیر تمامی عوامل موثر بر WDEL و یا به عبارتی شرایط کلی حاکم بر انجام آزمایشات می باشد. با افزایش مدت زمان آبیاری از یک ساعت به سه ساعت، WDEL به طور متوسط ۲۴ درصد کاهش یافت. با افزایش مدت زمان آبیاری، شرایط کلیماتولوژی مزرعه تغییر می کند به طوری که با افزایش رطوبت اتمسفر مزرعه، کمبود فشار بخار اشباع، کاهش می باید و بنابراین WDEL کاهش پیدا می کند. اگرچه در این پژوهش، با افزایش مدت زمان آبیاری، کاهش WDEL معنی دار نبوده است اما برای لندازه گیری میزان ISO15886-3:2021 در شرایط مزرعه ای، علیرغم پیشنهاد استاندارد ۱ ساعت، پیشنهاد می شود که پارامتر مدت زمان آبیاری مورد توجه قرار گیرد. در این راستا، مدت زمان های آبیاری رایج در منطقه هم می تواند راهنمای خوبی برای تصمیم گیری باشد. با افزایش سرعت چرخش آبپاش از ۱/۵ دور در دقیقه به ۳/۵ دور در دقیقه به طور میانگین ۱۳/۴ درصد WDEL کاهش یافت. با افزایش سرعت چرخش آبپاش، تعداد ضربات متناوب بازوی متحرک بر جت آب افزایش می باید که سبب تغییر الگوی جت آب و اندازه قطرات آن می گردد (کریمی و همکاران، ۱۴۰۱). همچنین دور تندتر چرخش آبپاش، احتمالاً تغییر کلیماتولوژی اتمسفر مزرعه را هم به همراه داشته باشد. به هر حال نتایج به دست آمده نشان می دهد که این تغییرات سبب کاهش WDEL شده است. این کاهش می تواند مربوط به کاهش بادبردگی قطرات آب و یا حتی کاهش تبخیر آن در طی مسیر از دهانه آبپاش تا سطح زمین باشد. کریمی و همکاران (۱۴۰۱) در تحقیقی در مزرعه تحقیقاتی دانشگاه کردستان، گزارش کردند که افزایش سرعت چرخش آبپاش ضربه ای سبب کاهش معنی دار ($P<0.01$) ضریب یکنواختی آبپاش شده است.

فشار بخار اشباع و همچنین فشار کارکرد و کمبود فشار بخار اشباع بر WDEL آبپاش ها معنی دار بود ($P<0.05$)

جدول (۴): تجزیه واریانس اثر پارامترهای مختلف هیدرولیکی و کلیماتولوژی و همچنین اثرات متقابل آنها بر میزان تلفات تبخیر و

). تغییرات افزایشی تمامی پارامترهای مذکور بر WDEL هم سو می باشد. بنابراین افزایش پارامترهای مذکور، اثر افزاینده بر WDEL داشته که در هر دو آبپاش معنی دار بوده است.

اثر برخی پارامترهای مستقل بر میزان WDEL آبپاش کامت R8

اثر تغییرات پارامترهای ارتفاع پایه آبپاش، مدت زمان آبیاری و سرعت چرخش آبپاش و همچنین اثرات متقابل آنها بر WDEL، برای آبپاش کامت R8 مورد مطالعه قرار گرفت. نتایج تجزیه واریانس هر یک از پارامترهای مذکور در ارلئه شده است. هیچ یک از پارامترهای مذکور اثر معنی داری بر WDEL آبپاش کامت R8 نداشتند. نتایج نشان داد با افزایش ارتفاع پایه آبپاش از یک متر به دو متر، میزان تلفات تبخیر و بادبردگی به طور متوسط، ۲۰/۹ درصد افزایش یافت. با افزایش ارتفاع بلندتری نسبت به سطح زمین، برخوردار خواهد بود. همچنین سرعت باد با افزایش ارتفاع، به صورت لگاریتمی افزایش می باید که سبب افزایش پتانسیل بادبردگی قطرات آب خواهد شد. بنابراین در منطقه مورد مطالعه که کشاورزان مناسب با ارتفاع گیاه، از ارتفاع های متفاوت پایه آبپاش استفاده می کنند تا ارتفاع پایه ۲ متر، میزان افزایش نسبی WDEL برای آبپاش کامت در حدود ۲۱ درصد خواهد بود و معنی دار نمی باشد. این در حالی است که کریمی و همکاران (۱۳۹۵) با بررسی اثر ارتفاع آبپاش ۱ و ۱/۵ متری بر روی تلفات تبخیر و بادبردگی نشان دادند که در سطح اطمینان ۹۵ درصد اثرگذاری مذکور معنی دار است. همچنین Edling

جدول (۵): تجزیه واریانس اثر پارامترهای مختلف هیدرولیکی و اثرات متقابل آن‌ها بر تلفات تبخیر و بادبردگی آبپاش کامت R8

	تعداد پارامتر	منبع تغییرات	آزادی درجه	میانگین مربعات	F	Pr	سطح معنی‌داری (%)
<1	یک پارامتره	ارتفاع پایه آبپاش*	۱	$4/00 \times 10$	۱/۵۱	۰/۲۳	۰/۲۳
		مدت زمان انجام آزمایش*	۱	$5/26 \times 10$	۲/۰۳	۰/۱۷	<1
		سرعت چرخش آبپاش*	۱	$6/43$	۰/۲۳	۰/۶۴	
<1	دو پارامتره	سرعت چرخش آبپاش × ارتفاع پایه آبپاش*	۲	$2/01 \times 10$	۰/۷۲	۰/۵۰	
		سرعت چرخش آبپاش × مدت زمان انجام آزمایش*	۲	$3/49 \times 10$	۱/۳۲	۰/۲۹	<1
		ارتفاع پایه آبپاش × مدت زمان انجام آزمایش*	۲	$4/00 \times 10$	۱/۵۵	۰/۲۴	
<1	سه پارامتره	سرعت چرخش آبپاش × ارتفاع پایه آبپاش × مدت زمان انجام آزمایش*	۳	$2/77 \times 10$	۱/۰۳	۰/۴۰	

* عدم وجود اختلاف معنی‌دار در سطح اطمینان ۹۹ درصد ($P > 0.01$)

فشار بخار اشباع و یا سرعت باد از کم به ملایم، WDEL آبپاش کامت افزایش قابل توجهی یافت. در محدوده تغییرات عوامل کلیماتولوژی و هیدرولیکی طرح حاضر، اثر فشار کارکرد بر WDEL هر دو آبپاش یکسان بود. افزایش ارتفاع پایه آبپاش از یک متر به دو متر در آبپاش کامت، باعث افزایش ۲۱ درصدی تلفات تبخیر و بادبردگی شد. با افزایش مدت زمان آبیاری از یک ساعت به سه ساعت و همچنین افزایش سرعت چرخش آبپاش از $1/5$ دور در دقیقه به $3/5$ دور در دقیقه، WDEL آبپاش کامت به ترتیب، ۲۴ درصد و $13/4$ درصد کاهش یافت که پیشنهاد می‌شود در تخمین آن در طرح‌های مطالعاتی، مورد توجه قرار گیرد. به طور کلی پتانسیل تلفات تبخیر و بادبردگی در آبپاش کامت نسبت به آبپاش لاسور بیشتر بوده و در محدوده تغییرات پارامترهای سیستمی و کلیماتولوژی طرح حاضر، بر اساس شاخص میزان تلفات تبخیر و بادبردگی، عملکرد آبپاش چرخنده‌ای لاسور بر آبپاش ضربه‌ای کامت R8 برتری دارد.

نتیجه‌گیری

در پژوهش حاضر میزان تلفات تبخیر و بادبردگی (WDEL) دو آبپاش ضربه‌ای کامت R8 و توربینی لاسور در شرایط مزرعه‌ای بررسی و مورد مقایسه قرار گرفت. همچنین اثر قطر ظروف جمع‌آوری آب نیز مورد مطالعه قرار گرفت. نتایج نشان داد قطر ظروف جمع‌آوری تأثیر معنی‌داری بر WDEL نداشت و جهت ارزیابی عملکرد آبپاش‌ها، حداقل قطر ظروف جمع‌آوری پیشنهاد شده در استاندارد (۸۵ mm)، برای منطقه مورد مطالعه کفايت می‌کند. اختلاف معنی‌داری بین WDEL دو آبپاش ضربه‌ای و توربینی در شرایط هیدرولیکی و کلیماتولوژی رایج منطقه (تا سرعت باد $11/5$ کیلومتر بر ساعت و درجه حرارت هوای 40 درجه سانتی‌گراد) وجود نداشت اما پتانسیل تبخیر و بادبردگی قطرات آب آبپاش کامت بسیار بیشتر از آبپاش لاسور بود؛ به طوری‌که با افزایش کمبود



منابع

- آذربو، ن.، معروف‌پور، ع. فرزان‌کیا، ف. و ب. رستمیان. ۱۳۹۵. بررسی دقیق برخی از مدل‌های برآورد تلفات ناشی از تبخیر و باد در سیستم آبیاری بارانی کلاسیک ثابت. *پژوهش آب ایران*, سال دهم, ص ۴۰-۴۷.
- باوی، ع. ۱۳۸۴. بررسی تاثیر باد و درجه حرارت بر یکنواختی توزیع و تلفات تبخیر و باد در آبیاری کلاسیک ثابت با آبپاش ژاله ۳. پایان نامه کارشناسی ارشد، دانشگاه آزاد اسلامی واحد علوم و بارانی تحقیقات اهواز.
- حسینی، ی.، رئوف، م. و ف. نظری گیگلو. ۱۳۹۹. ارزیابی و مدلسازی تلفات تبخیر و باد برداشتی سامانه آبیاری عقربه‌ای در منطقه مغان. *مجله پژوهش‌های حفاظت آب و خاک*, ۲۷(۵)، ص ۹-۱۰.
- رستمیان، ب.، معروف‌پور، ع. آذربو، ن. و ف. فرزان‌کیا. ۱۳۹۳. بررسی اثر عوامل جوی و هیدرولیکی بر میزان تلفات تبخیر و باد آبپاش‌های ضربه‌ای در سیستم آبیاری بارانی کلاسیک ثابت. *آب و خاک*, ۲۸(۴)، ص ۶۶۹-۶۶۱.
- سعادی، س. ا. و پ. تروی. ۱۴۰۱. پیش‌بینی تلفات تبخیر و بادبردگی در سامانه‌های آبیاری بارانی با استفاده از شبکه‌های عصبی مصنوعی. *نشریه آبیاری و زهکشی ایران*, ۱۶(۳)، ص ۵۳۷-۵۴۹.
- کریمی، ن.، دهقان، د.، مولودی، ش.، سی و سه مرده، ع. و ع. معروف‌پور. ۱۴۰۱. بررسی اثر برخی عوامل ساختمان آبپاش، سامانه آبیاری و مدیریت آن بر ضریب یکنواختی در آبیاری بارانی. *مجله پژوهش‌های حفاظت آب و خاک*.
- کریمی، ب.، محمدی نسب، آ. و ج. عبدی. ۱۳۹۵. ارزیابی تلفات تبخیر و بادبردگی در سیستم آبیاری بارانی شبانه و روزانه. *نشریه آبیاری و زهکشی ایران*, ۱۰(۱)، ص ۱۲۸-۱۳۵.
- موسوی بایگی، م.، علیزاده، ا.، عرفانیان ارغوانیان سرشاری، م.، انصاری، ح. و ج. باغانی. ۱۳۸۸. بررسی تاثیر عوامل اقلیمی و سیستمی بر تلفات تبخیر و بادبردگی در آبیاری بارانی. *علوم و صنایع کشاورزی*.
- Al-Ghobari, H. M., El-Marazky, M. S., Dewidar, A. Z., and Mattar, M. A. 2018. Prediction of wind drift and evaporation losses from sprinkler irrigation using neural network and multiple regression techniques. *Agricultural Water Management*, 195, 211-221
- Alnaizy, R., and Simonet, D. 2012. Analysis of Water Evaporation and Drift Losses During Irrigation in Semi-arid Areas of Sharjah (UAE) and Riyadh (KSA). *Natural Resources Research*, 21(2).
- De Wrachien, D., and Lorenzini, G. 2006. Modelling jet flow and losses in sprinkler irrigation: overview and perspective of a new approach. *Biosystems engineering*, 94(2), 297-309 .
- Dechemi, F., Playa'n, E., Cavero, J., Faci. and Martinez, A. 2003. Wind effect on solid set sprinkler irrigation depth and yield of maize (*Zea mays*). *Irrigation science*, 22:67-77.
- Dylla, A., and Shull, H. 1983. Estimating losses from a rotating-boom sprinkler. *Transactions of the ASAE*, 26(1), 123-0125 .
- Edling, R. 1985. Kinetic energy, evaporation and wind drift of droplets from low pressure irrigation nozzles. *Transactions of the ASAE*, 28(5), 1543-1550 .
- Faci, J. M., and Bercero, A. 1991. Efecto del viento en la uniformidad y en las pérdidas por evaporación y arrastre en el riego por aspersión. *Inv. Agric. Prod. Prot. Veg*, 6(2), 171–182.
- Frost, K.R. and Schwalon, H.C. 1955. Sprinkler evaporation losses. *Agriculture Engineering*. 36(8), 526-528.
- ISO15886-3. 2021. Agricultural irrigation equipment - Sprinklers - Part 3: Characterization of distribution and test methods. International Standardization Organisation, Geneva, Switzerland.

- Keller, J. and Bliesner, R.D. 1990. Sprinkler and Trickle Irrigation. AVI Book. Van NostrandReinhold. New York, USA.
- Keller, J., and Bliesner, R. 2000. Sprinkle and trickle irrigation. Caldwell. In: NJ. The Blackburn Press. 351p.
- Kincaid, D. C., Solomon, K. H., and Oliphant, J. C. 1996. Drop size distributions for irrigation sprinklers. Transactions of the ASAE, 39(3), 839-845 .
- Li, M., Yan, H., Wang, Y., and Sui, R. 2016. Effect of irrigation amount and uniformity on alfalfa yield and quality under center pivot system. American Society of Agricultural and Biological Engineers (ASABE) Annual International Meeting, p1.
- Lorenzini, G. 2002. Air temperature effect on spray evaporation in sprinkler irrigation. Irrigation and Drainage: The journal of the International Commission on Irrigation and Drainage, 51(4), 301-309 .
- Maroufpoor, S., Maroufpoor, E., and Khaledi, M. 2019. Effect of farmers' management on movable sprinkler solid-set systems. Agricultural Water Management. 223, 10591. 1-7.
- Martínez-Cob, A., Playán Jubillar, E., Zapata Ruiz, N., Cavero Campo, J., Medina Pueyo, E. T., and Puig Basa, M. 2008. Contribution of evapotranspiration reduction during sprinkler irrigation to application efficiency .
- Mattar, M. A., Roy, D. K., Al-Ghabari, H. M., and Dewidar, A. Z. 2022. Machine learning and regression-based techniques for predicting sprinkler irrigation's wind drift and evaporation losses. Agricultural Water Management, 265, 107529 .
- McLean, R., Ranjan, S., and Klassen, G. 2000. Spray evaporation losses from sprinkler irrigation systems. Canadian Agricultural Engineering, 42(1), 1-8 .
- Mohamed, A. E., Hamed, A. M. N., Ali, A. A. M., and Abdalhi, M. A. 2019. Effect of Weather Conditions, Operating Pressure and Riser Height on the Performance of Sprinkler Irrigation System. IOSR Agriculture and Veterinary Science. 12:1. 01-09.
- Molle, B., Tomas, S., Hendawi, M., and Granier, J. 2012. Evaporation and wind drift losses during sprinkler irrigation influenced by droplet size distribution. Irrigation and Drainage, 61(2), 240-250 .
- Montero, J. 1999. Análisis de la distribución de agua en sistemas de riego por aspersión estacionario. Desarrollo del Modelo de Simulación de Riego por Aspersión (SIRIAS). Colección Tesis Doctorales Nº103. Ediciones Universidad de Castilla La Mancha, España.
- Montero, J., Tarjuelo, J., Ortega, J., and de Juan, J. 2000. Discharge efficiency in sprinkling irrigation: analysis of the evaporation and drift losses in semi-arid areas .
- Naderianfar, M., Faryabi, A., and Dehghan, H. 2018. Estimation of wind drift and evaporation losses in sprinkler irrigation of urban green spaces. Progress in Agricultural Engineering Sciences, 14(1), 77-96 .
- Peters, R. T., Neibling, H., Stroh, R., Molaei, B., and Mehanna, H. 2016. Low energy precision application (LEPA) and low elevation spray application (LESA) trials in the Pacific Northwest. Proceedings of 2016 California Alfalfa and Forage Symposium.



- Playa'n, E., Salvador, R., Faci, J.M., Zapata, N., Martínez-Cob, A. and Sa'ncchez, I. 2005. Day and night wind drift and evaporation losses in sprinkler solid-sets and moving laterals. *Journal of Agriculture Water Management*. 76: 139–159.
- Sarwar, A., Peters, R. T., & Mohamed, A. Z. 2020. Linear mixed modeling and artificial neural network techniques for predicting wind drift and evaporation losses under moving sprinkler irrigation systems. *Irrigation Science*, 38, 177-188.
- Sarwar, A., Peters, R. T., Shafeeqe, M., Mohamed, A., Arshad, A., Ullah, I., Saddique, N., Muzammil, M., and Aslam, R. A. 2021. Accurate measurement of wind drift and evaporation losses could improve water application efficiency of sprinkler irrigation systems- A comparison of measuring techniques. *Agricultural Water Management*, 258, 107209 .
- Seginer, I., Kantz, D., and Nir, D. 1991. The distortion by wind of the distribution patterns of single sprinklers. *Agricultural Water Management*, 19(4), 341-359 .
- Tarjuelo, J. M., Montero, J., Honrubia, F., Ortiz, J., and Ortega, J. 1999. Analysis of uniformity of sprinkle irrigation in a semi-arid area. *Agricultural Water Management*, 40(2-3), 315-331 .
- Tarjuelo, J., Ortega, J., Montero, J., and De Juan, J. 2000. Modeling evaporation and drift losses in irrigation with medium size impact sprinklers under semi-arid conditions. *Agricultural Water Management*. 43:3. 263-284.
- Yazar, A. 1984. Evaporation and drift losses from sprinkler irrigation systems under various operating conditions. *Journal of Agriculture Water Management*. 8:439-449.